

# FILTRY ZE SKOŃCZONĄ ODPOWIEDZIĄ IMPULSOWĄ (SOI)

ang. Finite Impulse Response (FIR)

## Spis treści

1. Definicja filtru FIR
2. Charakterystyki częstotliwościowe
3. Filtry FIR z liniową charakterystyką fazową
4. Definicja filtru 2-D FIR
5. Filtry 2-D FIR z liniową charakterystyką fazową
6. Projektowanie filtrów – metoda okna
7. Projektowanie filtrów – metoda próbkowania w dziedzinie częstotliwości
8. Optymalizacyjne metody projektowania filtrów FIR

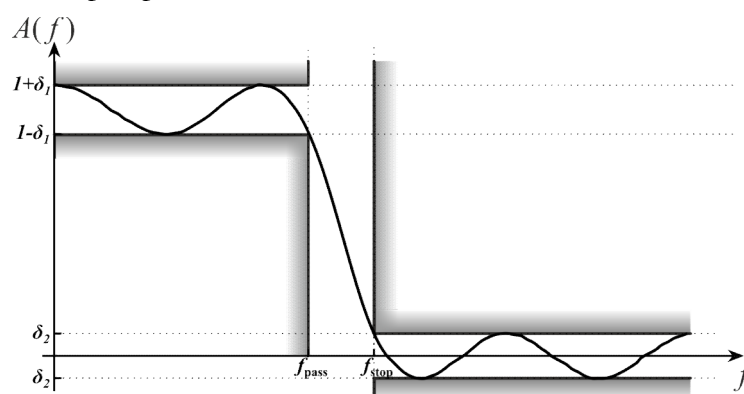
## Projektowanie filtrów typu FIR

## Założenia projektowe w dziedzinie częstotliwości

Pasmo  
przepustowe

Pasmo  
przejęciowe

Pasmo  
zaporowe



## Metoda okna



1. Wybór rodzaju filtru (dolnoprzepustowy, górnoprzepustowy) oraz znormalizowanej częstotliwości granicznej (odcinka)  $\underline{f_g} \in [0,1]$   
Dla filtru rzędu  $N$  mamy  $N+1$  współczynników.
2. Analityczne wyznaczenie idealnej odpowiedzi impulsowej dla filtru.  
Filtr dolnoprzepustowy (DP) jest tu zawsze filtrem bazowym

$$h_{DP}(m) = \begin{cases} \frac{2\underline{f_g}}{2\pi\underline{f_g}m} \frac{\sin(2\pi\underline{f_g}m)}{2\pi\underline{f_g}m}, & m = -\frac{(N+1)-1}{2}, \dots, 0, \dots, \frac{(N+1)-1}{2} \\ 2\underline{f_g}, & m = 0 \end{cases}$$

3. Przesunięcie w prawo współczynników o  $M=(N+1-1)/2$ , tzn. zamiast indeksów  $m=-(N+1-1)/2, \dots, 0, \dots, (N+1-1)/2$  mamy nowe indeksy  $n=0, \dots, N$   
 $h(n) = h(m)$

4. Dodatkowo: tak otrzymane współczynniki filtru  $h(n)$  można

5

www.agh.edu.pl

przemnożyć przez wybraną funkcję okna czasowego

## Metoda okna



1. W przypadku filtru górnoprzepustowego rzędu  $N$  ( $N+1$  współczynników) oraz znormalizowanej częstotliwości granicznej  $\underline{f_g} \in [0,1]$  analityczne wyznaczenie idealnej odpowiedzi impulsowej poprzez:

$$h_{GP}(m) = \delta(m) - h_{DP}(m)$$

$$h_{GP}(m) = \begin{cases} -\frac{2\underline{f_g}}{2\pi\underline{f_g}m} \frac{\sin(2\pi\underline{f_g}m)}{2\pi\underline{f_g}m}, & m = -\frac{(N+1)-1}{2}, \dots, 0, \dots, \frac{(N+1)-1}{2} \\ 1 - 2\underline{f_g}, & m = 0 \end{cases}$$

2. Przesunięcie w prawo współczynników o  $M=(N+1-1)/2$ , tzn. zamiast indeksów  $m=-(N+1-1)/2, \dots, 0, \dots, (N+1-1)/2$  mamy nowe indeksy  $n=0, \dots, N$   
 $h(n) = h(m)$

3. Dodatkowo: tak otrzymane współczynniki filtru  $h(n)$  można

6

www.agh.edu.pl

przemnożyć przez wybraną funkcję okna czasowego

## Zastosowanie funkcji okna czasowego

Mając współczynniki filtru typu FIR  $h(n)$  rzędu  $N$  zaprojektowanego przy pomocy dowolnej z podanych na wykładzie metody projektowania filtru, możemy przemnożyć współczynniki filtru przez funkcję okna czasowego (Blackman, Hamminga, Hanninga, itp.) w celu zmiany charakterystyki częstotliwościowej filtru (przede wszystkim w paśmie zaporowym)

$$h_w(n) = w(n)h(n)$$

Np. okno Blackmana:  $w(n) = \alpha_0 - \alpha_1 \cos\left(\frac{2\pi n}{M}\right) + \alpha_2 \cos\left(\frac{4\pi n}{M}\right)$

gdzie  $M = N/2$      $\alpha_0 = \frac{1-\alpha}{2}$      $\alpha_1 = \frac{1}{2}$      $\alpha_2 = \frac{\alpha}{2}$

## Metoda: Projektowanie filtrów przy pomocy szeregów Fouriera

Współczynniki szeregu trygonometrycznego Fouriera

$$H^{zad}(\underline{f}) = \sum_{n=-\infty}^{\infty} h_n e^{-2\pi j \underline{f} n}$$

oblicza się ze wzoru

$$h_n = \int_{-1/2}^{1/2} H^{zad}(\underline{f}) e^{2\pi j \underline{f} n} d\underline{f}$$

Ten wzór jest odwrotną transformacją Fouriera !

Charakterystyki częstotliwościowe spełniają warunki

$$\begin{cases} |H^{zad}(\underline{f})| = |H^{zad}(-\underline{f})| \\ \theta^{zad}(\underline{f}) = -\theta^{zad}(-\underline{f}) \end{cases}$$

Zespolona charakterystyka częstotliwościowa filtru ma postać

$$H(\underline{f}) = \sum_{n=0}^N h_n e^{-2\pi j \underline{f} n}$$

## Metoda: Projektowanie filtrów przy pomocy szeregów Fouriera



Współczynniki szeregu trygonometrycznego Fouriera

$$H^{zad}(\underline{f}) = \sum_{n=-\infty}^{\infty} h_n e^{-2\pi j \underline{f} n}$$

oblicza się ze wzoru

$$h_n = \int_{-1/2}^{1/2} H^{zad}(\underline{f}) e^{2\pi j \underline{f} n} d\underline{f}$$

Ten wzór jest odwrotną transformacją Fouriera !

Odpowiedź impulsowa spełnia warunki  $h_n = 0$  dla:

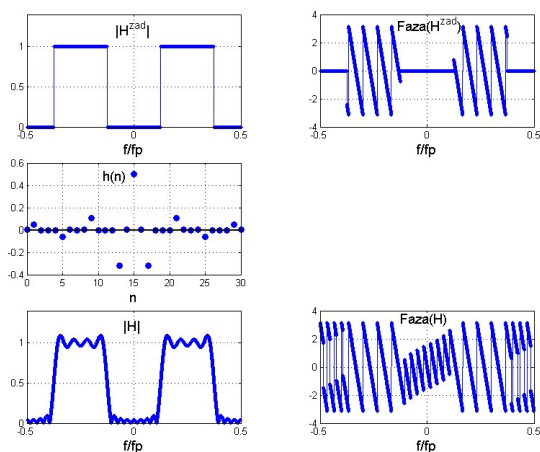
$n < 0$  bo filtr ma być przyczynowy

$n > N$  bo filtr ma być skończonego rzędu

Zespolona charakterystyka częstotliwościowa filtru ma postać

$$H(\underline{f}) = \sum_{n=0}^N h_n e^{-2\pi j \underline{f} n}$$

## Metoda: Projektowanie filtrów przy pomocy szeregów Fouriera



## Metoda próbkowania w dziedzinie częstotliwości - Projektowanie filtrów przy pomocy odwrotnej DFT

Skoro

$$h_n = \int_{-1/2}^{1/2} H^{zad}(\underline{f}) e^{2\pi j \underline{f} n} d\underline{f}$$

to

$$h_n = \frac{1}{N+1} \sum_{k=0}^N H^{zad}(k/(N+1)) w_{N+1}^{-kn}$$

$$n = 0, \dots, N$$

$$w_{N+1} = e^{-j \frac{2\pi}{N+1}}$$

## Metoda próbkowania w dziedzinie częstotliwości - Projektowanie filtrów przy pomocy odwrotnej DFT

1. Zadanie charakterystyki częstotliwościowej filtru

$$|H^{zad}(\underline{f})| = |H^{zad}(-\underline{f})| \quad \theta^{zad}(\underline{f}) = -\theta^{zad}(-\underline{f})$$

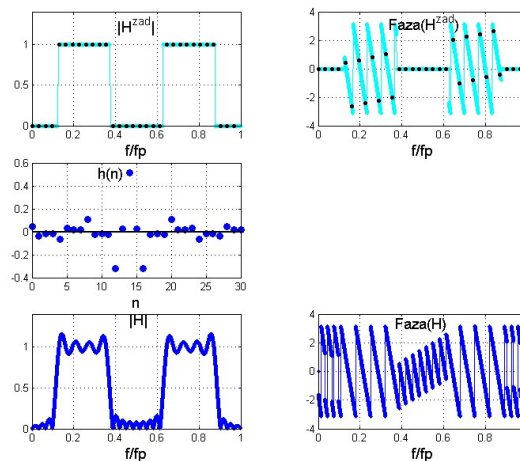
2. Obliczenie odwrotnej cyfrowej transformaty Fouriera

$$h_n = \frac{1}{N+1} \sum_{k=0}^N H^{zad}(k/(N+1)) w_{N+1}^{-kn} \quad \begin{matrix} n = 0, \dots, N \\ k = 0, \dots, N \end{matrix}$$

3. Przesunięcie cykliczne (kołowe) o  $M=(N-1)/2$  próbek
4. Dodatkowo: tak otrzymane współczynniki filtru  $h_n$  można przemnożyć przez wybraną funkcję okna czasowego

## Metoda próbkowania w dziedzinie częstotliwości

### - Projektowanie filtrów przy pomocy odwrotnej DFT



## Metody optymalizacyjne

### Przykład: Algorytm Remeza

## Kryterium w przestrzeni

$$H(\underline{f}) = \sum_{n=0}^N h_n e^{-2\pi j \underline{f} n} \quad \text{AGH}$$

**PROJEKTOWANE**



$$Q^{opt} = \min_h Q \quad L_W^2(0, 1/2)$$

$$Q(h_0, \dots, h_N) = \int_0^{1/2} W(\underline{f}) \left| H^{zad}(\underline{f}) - H(\underline{f}) \right|^2 d\underline{f} \quad W(\underline{f}) \geq 0$$

$$Q(h_0, \dots, h_{(N-1)/2}) = \int_0^{1/2} W(\underline{f}) \left| H^{zad}(\underline{f}) - 2e^{-\pi j \underline{f} N} \sum_{n=0}^{(N-1)/2} h_n \cos(\pi \underline{f} (2n+1)) \right|^2 d\underline{f}$$

$$h = \{h_n : n = 0, \dots, (N-1)/2\}$$

$$H(\underline{f}) = A(\underline{f}) e^{j\theta(\underline{f})}$$

$$Q = \int_0^{1/2} \left\{ \alpha [A(\underline{f}) - A^{zad}(\underline{f})]^2 + (1-\alpha) [\theta(\underline{f}) - \theta^{zad}(\underline{f})]^2 \right\} d\underline{f} \quad 0 \leq \alpha \leq 1$$

## Kryterium w przestrzeni



$$E(\underline{f}) = W(\underline{f}) \left( A^{zad}(\underline{f}) - A(\underline{f}) \right) \quad C_W(0, 1/2)$$

$$Q = \max_{\underline{f}} |E(\underline{f})|$$

**PROJEKTOWANE**



$$Q^{opt} = \min_h \max_{\underline{f}} |E(\underline{f})|$$



## Przykład metody Parks-McClellan 1972 rok



$$E(\underline{f}) = W(\underline{f}) (A^{zad}(\underline{f}) - A(\underline{f}))$$

$$Q^{opt} = \min_h \max_{\underline{f}} |E(\underline{f})|$$

Algorytm Remeza 1957 rok

**Evgeny Yakovlevich Remez**  
(1895 na Białorusi 1975 w Kijowie)

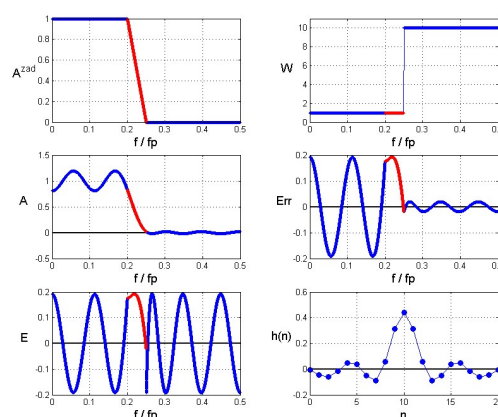
odchylki  $\delta=0,18$

## Przykład metody Parks-McClellan 1972 rok



$$Q^{opt} = \min_h \max_{\underline{f}} |E(\underline{f})|$$

$$E(\underline{f}) = W(\underline{f}) (A^{zad}(\underline{f}) - A(\underline{f}))$$



Algorytm Remeza  
1957 rok

Na czerwono  
zaznaczono pasmo  
przejściowe  
- jego waga jest  
taka sama jak dla  
pasma  
przepustowego

Odchylki E  $\delta=0,194$

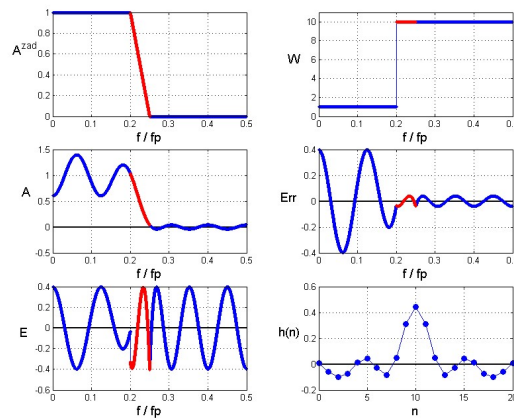
## Przykład metody Parks-McClellan 1972 rok



$$Q^{opt} = \min_h \max_f |E(\underline{f})|$$

$$E(\underline{f}) = W(\underline{f}) (A^{zad}(\underline{f}) - A(\underline{f}))$$

Algorytm Remeza  
1957 rok



Na czerwono  
zaznaczono pasmo  
przejściowe  
- jego waga jest  
taka sama jak dla  
pasma zaporowego

Odchyłki  $\delta=0,194$

## Twierdzenie Czebyszewa



Jeżeli  $A(\underline{f}) = 2 \sum_{n=0}^M h_n \cos((2n+1)\pi \underline{f})$

i istnieje co najmniej  $M+2$  częstotliwości

$$0 < \underline{f}_1 < \underline{f}_2 < \dots < \underline{f}_{M+1} < \underline{f}_{M+2} < 0,5$$

takich, że

$$E(\underline{f}_i) = -E(\underline{f}_{i+1})$$

dla  $i=1, \dots, M+1$  oraz

$$|E(\underline{f}_i)| = \delta = \max_{0 \leq \underline{f} \leq 0,5} |E(\underline{f})|$$

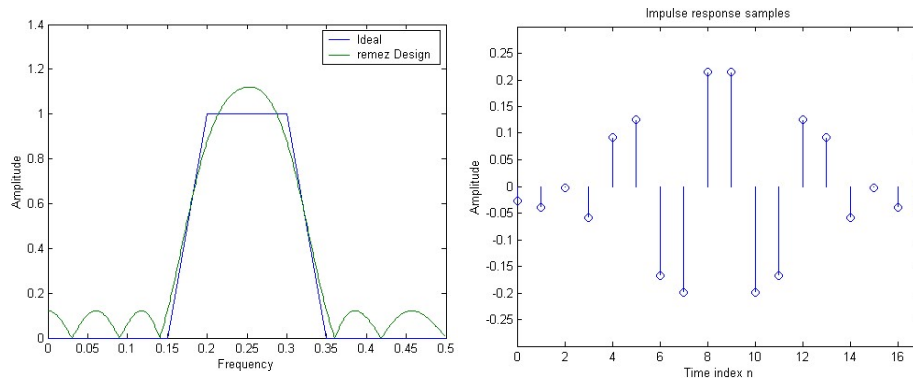
dla  $i=1, \dots, M+2$ ,

to **wtedy i tylko wtedy istnieje jeden** zestaw współczynników  $h_0, \dots, h_M$  dla których  $\delta$  osiąga najmniejszą wartość.

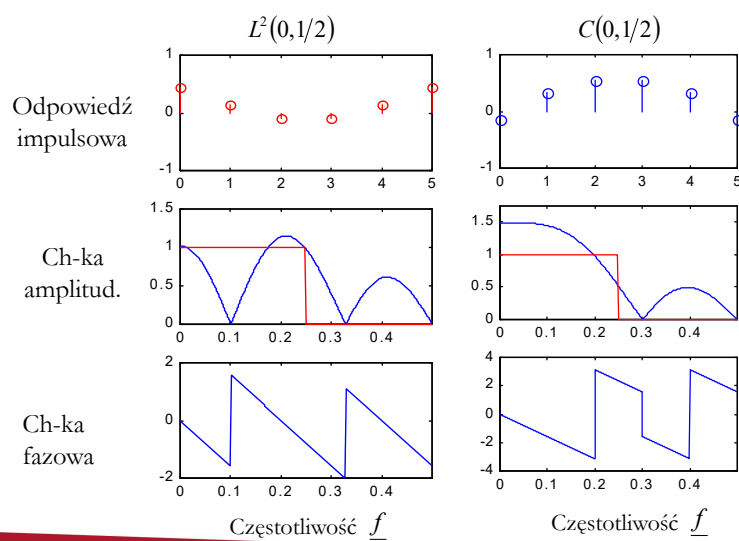
## Przykład – FIR metodą Remeza



Filtr pasmowy zaprojektowany metodą Remeza



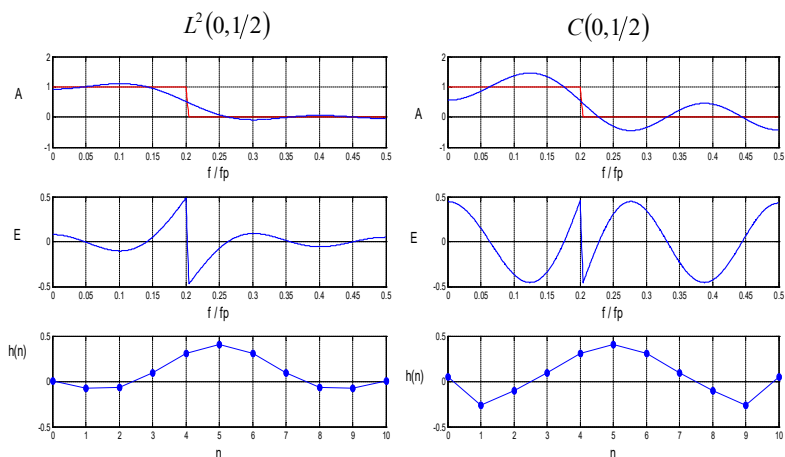
## Optimalizacja w przestrzeni



## Optymalizacja w przestrzeni



$$E(\underline{f}) = A^{zad}(\underline{f}) - A(\underline{f})$$



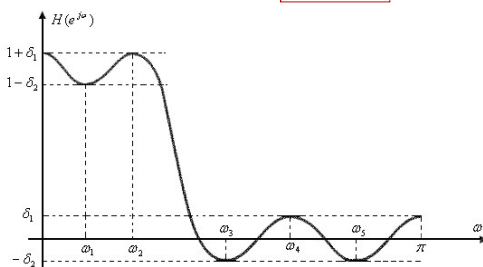
## Projektowanie metodą programowania liniowego



$$A^{zad}(\underline{f}) - \delta \leq A(\underline{f}) \leq A^{zad}(\underline{f}) + \delta$$

$$\begin{aligned} Ax &\geq b \\ Q &= c^T x \end{aligned}$$

$$\begin{cases} A(\underline{f}) + \delta \geq A^{zad}(\underline{f}) \\ -A(\underline{f}) + \delta \geq -A^{zad}(\underline{f}) \end{cases}$$



$$\underline{f}_k \in [0 \quad 0,5] \quad \text{dla} \quad k = 1, 2, \dots, K$$

## Macierzowy zapis programowania liniowego



$$\begin{cases} A(\underline{f}) + \delta \geq A^{zad}(\underline{f}) \\ -A(\underline{f}) + \delta \geq -A^{zad}(\underline{f}) \end{cases}$$

$$\begin{aligned} Ax &\geq b \\ Q &= c^T x \end{aligned}$$

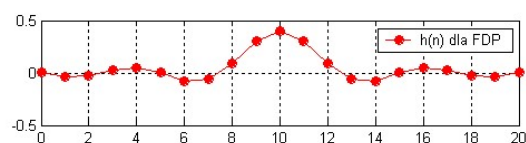
$$2 \begin{bmatrix} \cos(\pi \underline{f}_1) & \cos(3\pi \underline{f}_1) & \cdots & \cos(N\pi \underline{f}_1) & 1/2 \\ \vdots & \vdots & \vdots & \vdots & \vdots \\ \cos(\pi \underline{f}_K) & \cos(3\pi \underline{f}_K) & \cdots & \cos(N\pi \underline{f}_K) & 1/2 \\ -\cos(\pi \underline{f}_1) & -\cos(3\pi \underline{f}_1) & \cdots & -\cos(N\pi \underline{f}_1) & 1/2 \\ \vdots & \vdots & \vdots & \vdots & \vdots \\ -\cos(\pi \underline{f}_K) & -\cos(3\pi \underline{f}_K) & \cdots & -\cos(N\pi \underline{f}_K) & 1/2 \end{bmatrix} \begin{bmatrix} h_0 \\ h_1 \\ \vdots \\ h_{\frac{N-1}{2}} \\ \delta \end{bmatrix} \geq \begin{bmatrix} A^{zad}(\underline{f}_1) \\ \vdots \\ A^{zad}(\underline{f}_K) \\ -A^{zad}(\underline{f}_1) \\ \vdots \\ -A^{zad}(\underline{f}_K) \end{bmatrix}$$

$$Q = \delta$$

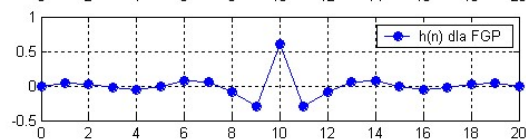
## Przykładowe odpowiedzi impulsowe filtrów



Dolnoprzepustowy  
(DP)



Górnoprzepustowy  
(GP)



Pasmowoprzepustowy  
(PP)

